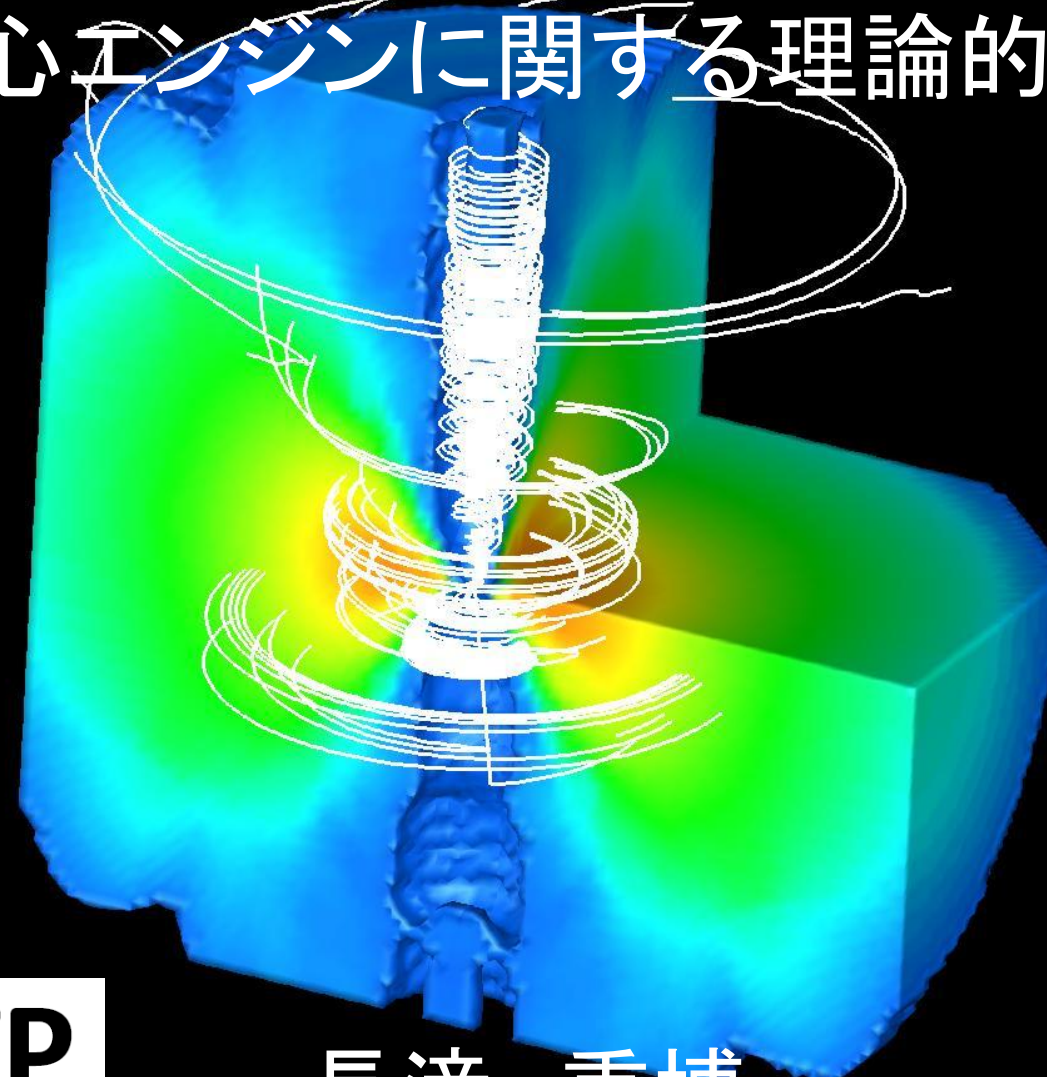
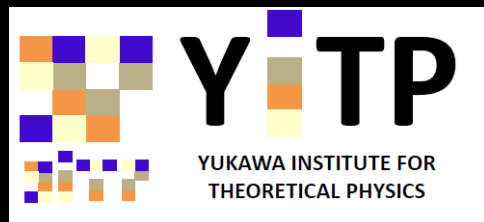


数値シミュレーションによるガンマ線バースト 中心エンジンに関する理論的研究



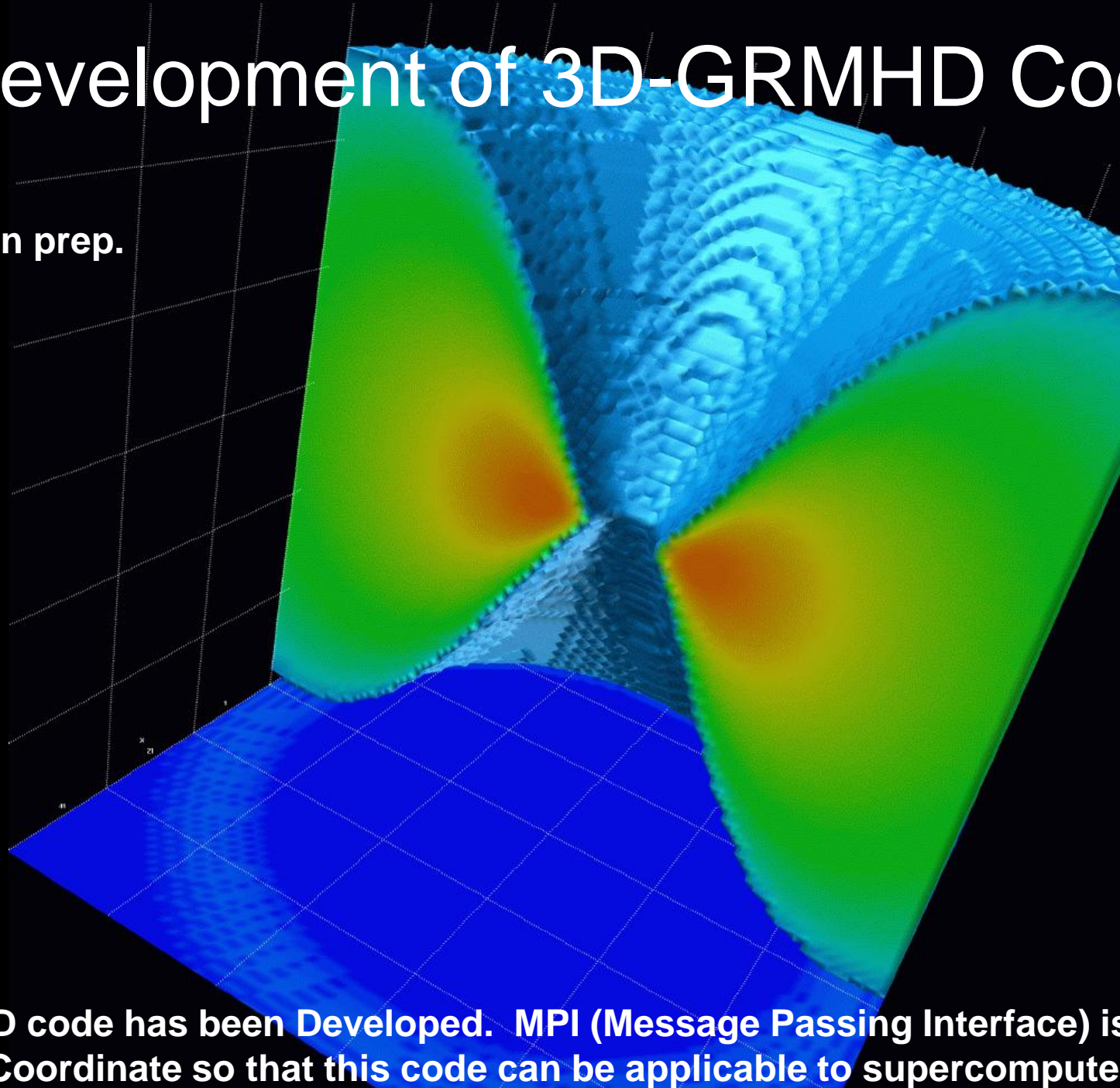
長滝 重博



§ Movie Gallery

Development of 3D-GRMHD Code

S.N. 09,
S.N. 11, in prep.



3D GRMHD code has been Developed. MPI (Message Passing Interface) is used for every Coordinate so that this code can be applicable to supercomputers .

UHECRs and SZ in CGs

Kotera, Allard, Murase, Aoi, Dubois, Pierog, SN ApJ (2009)
Prokhorov, Dubois, S.N. A&A (2010)

銀河団に於けるSZ効果

Prokhorov, Dubois, S.N. A&A (2010)

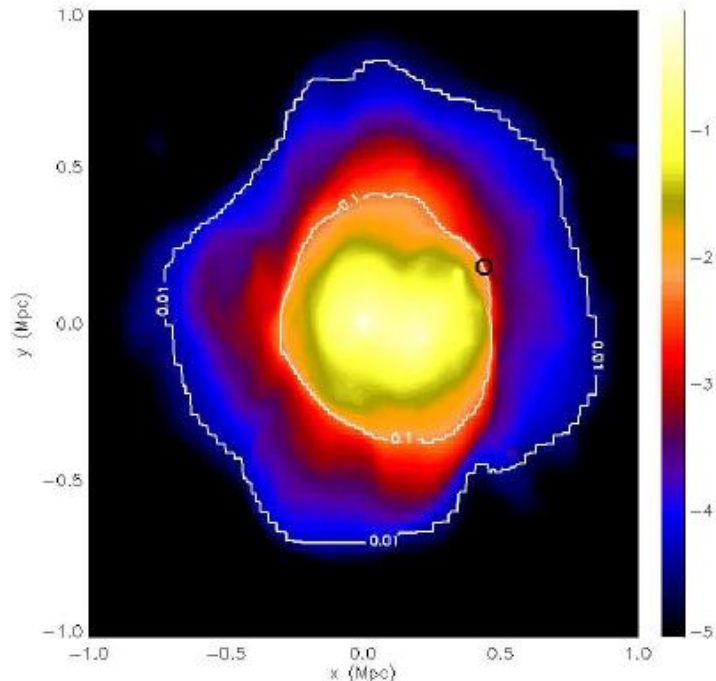


Fig. 6. The normalized X-ray surface brightness map of the simulated cluster in the [2.0-10.0 keV] band in logarithmic scale. The region corresponding to the highest temperature in Fig. 5 is shown by a black circle.

X線のSurface Brightness

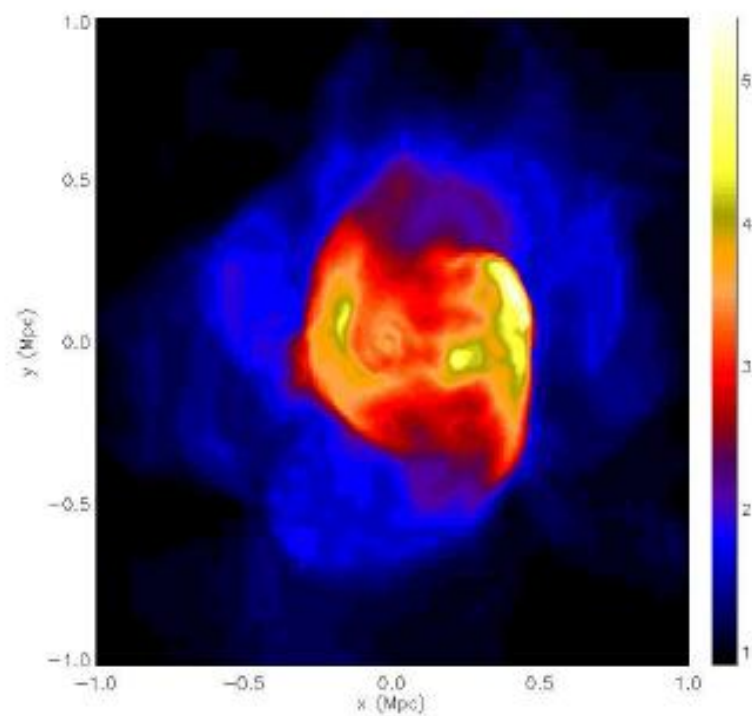


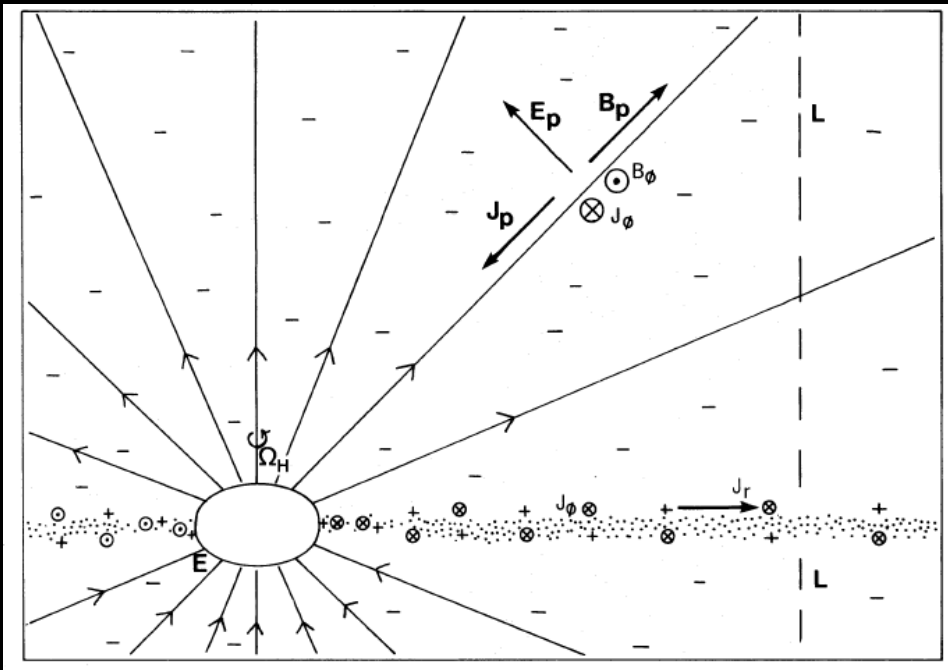
Fig. 5. Temperature (in keV) of the simulated cluster along the x direction at $z=0.74$ derived from the ratio of the SZ intensities.

SZで求めた電子温度分布

What is Blandford-Znajek Process?

Blandford and Znajek 1977

Energy extraction from a rotating BH.



Mono-pole solution.

The solution is obtained for
Slowly rotating BH.
Strong outgoing flux in the
Equatorial plane.

This solution can be used to check the validity of numerical codes.

Numerical Simulation of Blandford-Znajek Process

~Mono-pole Solution~

2D-calculation. Grid Size = (300,300)
[$r_+ < r < 230$], [$0 < \theta < \pi$]

Initial Condition:
0th order terms for the mono-pole
Solution is put around a Kerr BH.

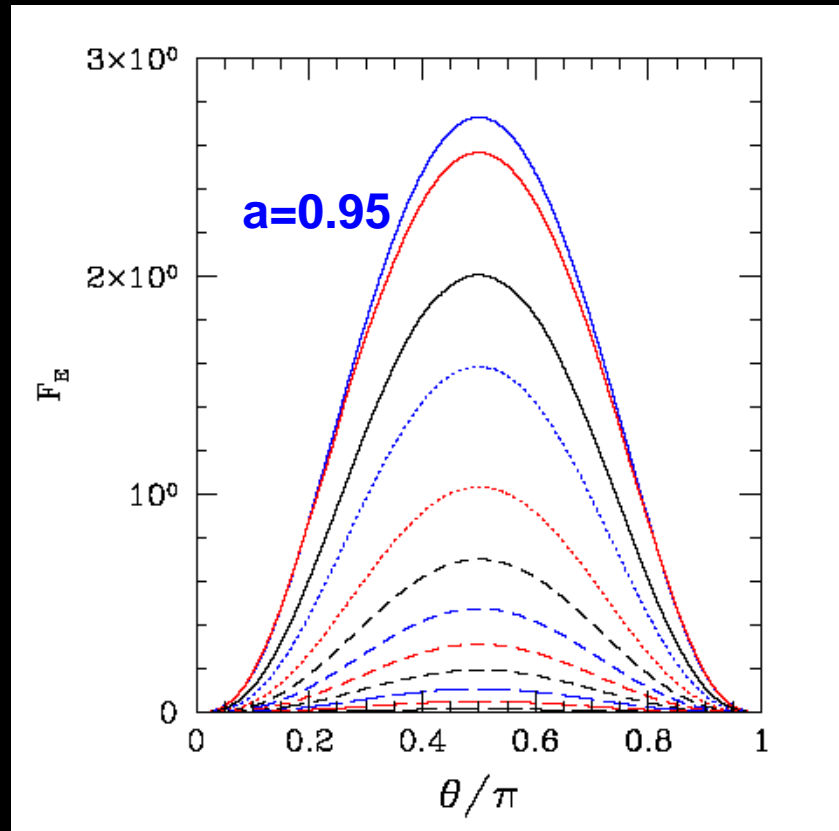
Time evolution is followed until
T=200 (c=G=M=1 unit). At the final
Stage, poynting flux is estimated at
R=20.

$$\dot{E} = 2\pi \int_0^\pi d\theta \sqrt{-g} (-T^r_t)$$

$$= \frac{C^2 \pi}{32} a^2 \int_0^\pi d\theta \sin^3 \theta$$

Analytical Prediction (only for $a \ll 1$)

$$\nabla_\mu T_\nu^\mu = \nabla_\mu T_\nu^\mu {}^{(0)} + \left(\frac{a}{M}\right)^2 \nabla_\mu T_\nu^\mu {}^{(2)} + \left(\frac{a}{M}\right)^4 \nabla_\mu T_\nu^\mu {}^{(4)} + O((a/M)^6) = 0$$



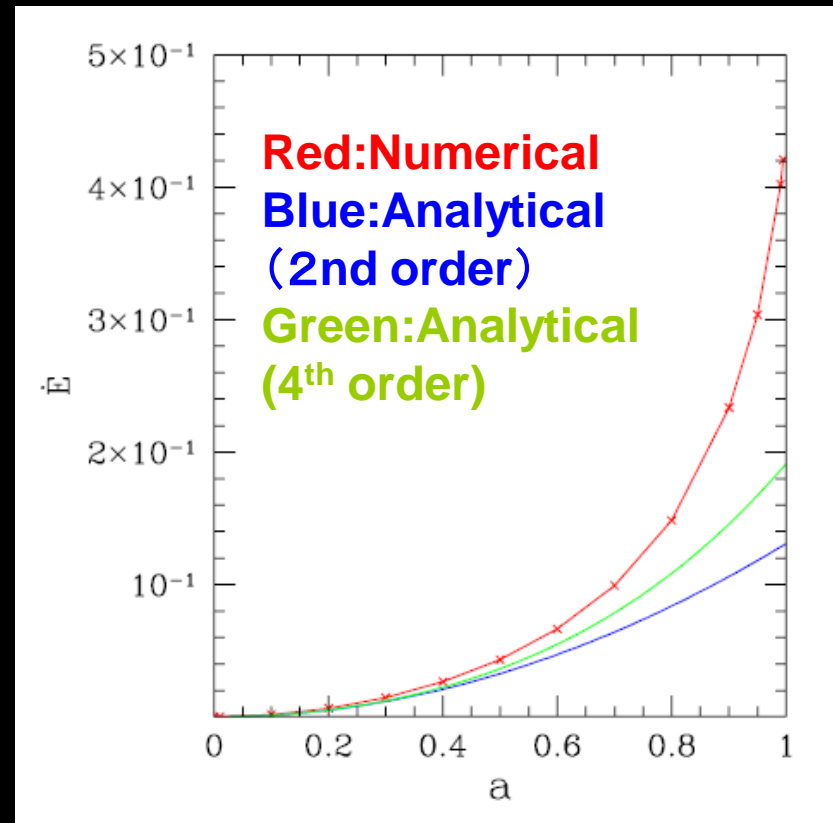
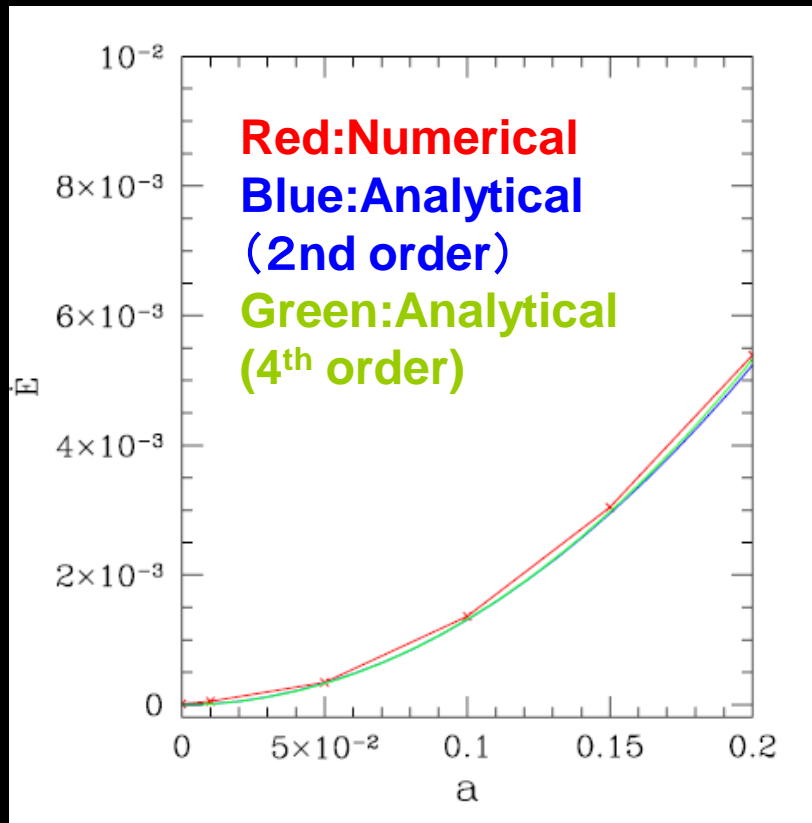
Numerical results for energy
flux with various a.

Higher Order Terms of BZ mono-pole Solution

Numerical results for the conserved Poynting Flux.

Tanabe and S.N. (2008) PRD.

T=200, c=G=M=1



Analytical (for $a \ll 1$) :

c.f. Blandford and Znajek (1977)
Ruben (2004)

$$\dot{E} = \frac{C^2 \pi}{24} \frac{a^2}{M^2} + \frac{\pi C^2}{1080} \frac{a^4}{M^4} (56 - 3\pi^2)$$

Initial Condition

S. N. 09

- 12TJ: Rotating star with 12Msolar, z=0.01, Mass of Fe core=1.82Msolar (Woosley and Heger 2006).

- $M_{\text{BH}}=2\text{Msolar}$, $a=0.5$.

- Kerr-Schild coordinate.

- $256(r) \times 128(\theta)$

- $r = 1.8 \text{ to } 3 \times 10^4$ $r_+ = 1 + \sqrt{1 - a^2} = 1.866$.

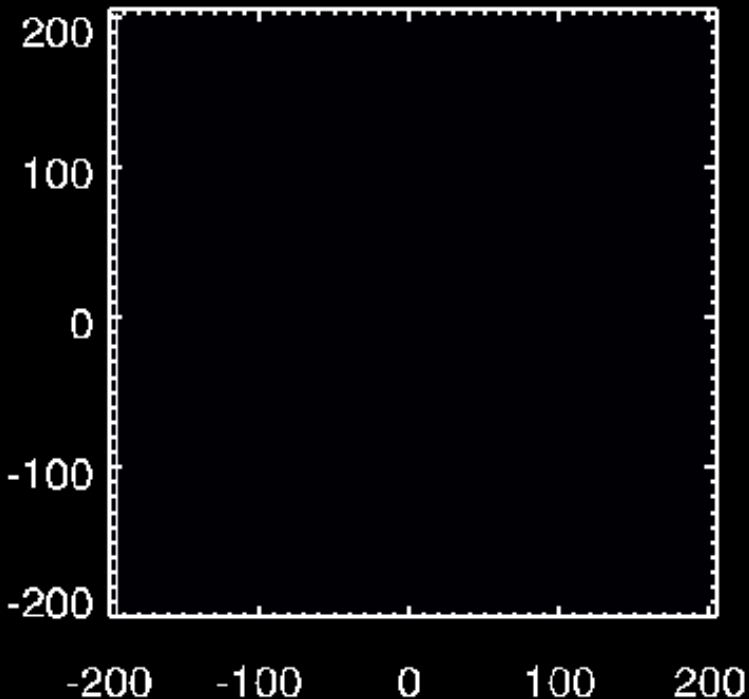
- $u^\phi(r, \theta) = u^\phi(r, \pi/2) \times \sin \theta$.

- $A_\phi \propto \max(\rho/\rho_{\text{max}} - 0.2, 0) \sin^4 \theta$

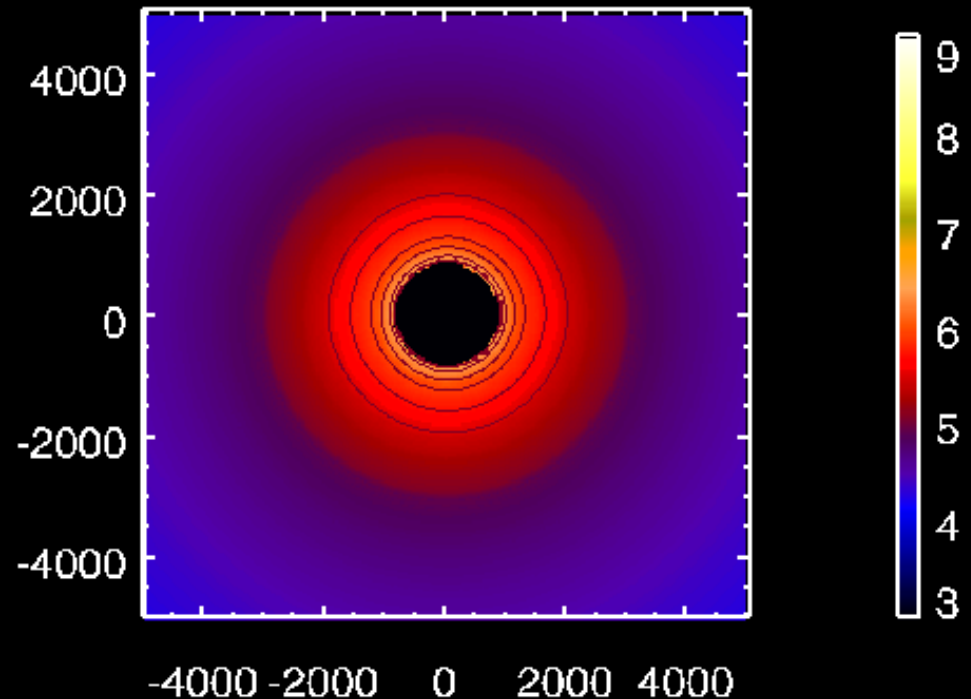
- $\Gamma = 4/3$ $p_{\text{gas}}/p_{\text{mag}} = 10^2$

Simulation of a Collapsar

S.N. 2009 ApJ.



$R < 200$



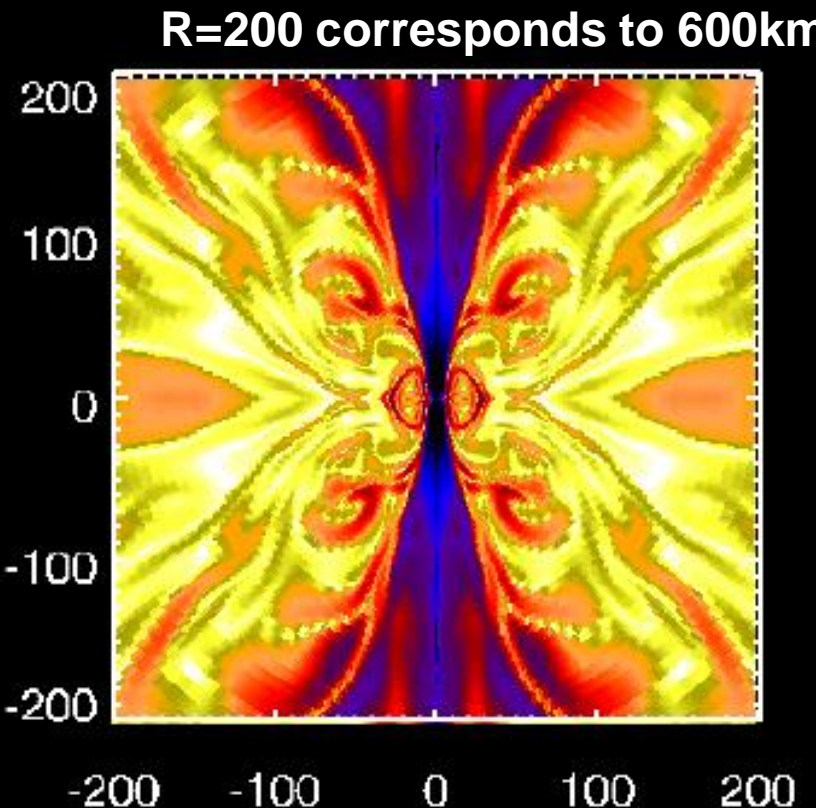
$R < 5000$

Density contour in logarithmic scale (g/cc)

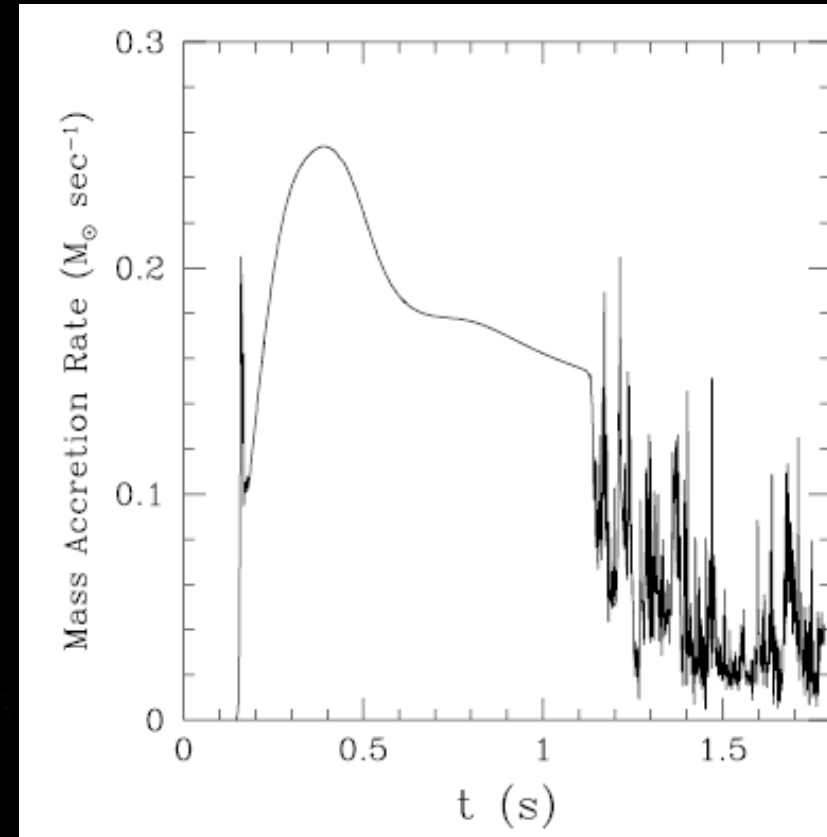
Final time corresponds to 1.77sec. $R=200$ corresponds to 600km.

Poynting Flux Dominated Jet with Rapid Time Variability

S. N. 09



Poynting Flux-Dominated Jet
EM Energy also dominates rest mass energy in the jet.

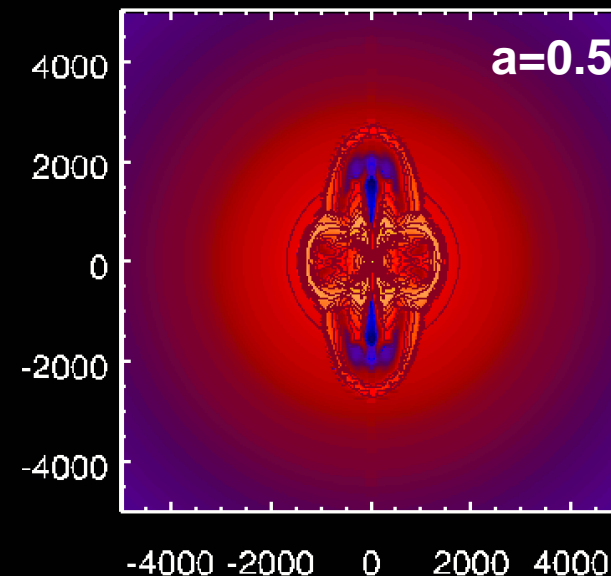
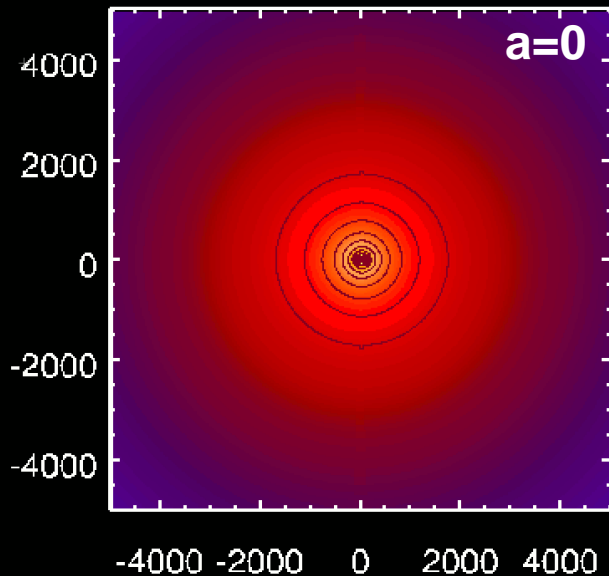


§ Numerical Simulation of a collapsar by a General Relativistic Magneto- Hydrodynamic (GRMHD) code.

When General Relativistic Numerical Code is used, general relativistic Effects can be seen. Energy extraction from a Black Hole is one of them. This effect may be related with formation of GRB jet.

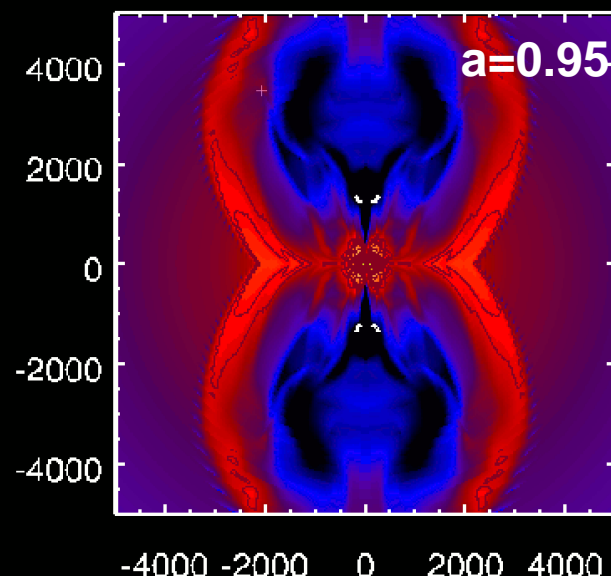
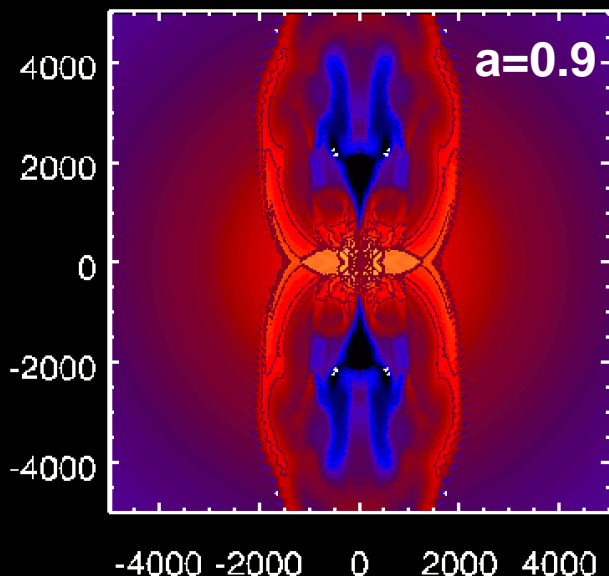
S.N. (2009) ApJ

Dependence of Dynamics on Rotating Black Hole



S.N. (2010)

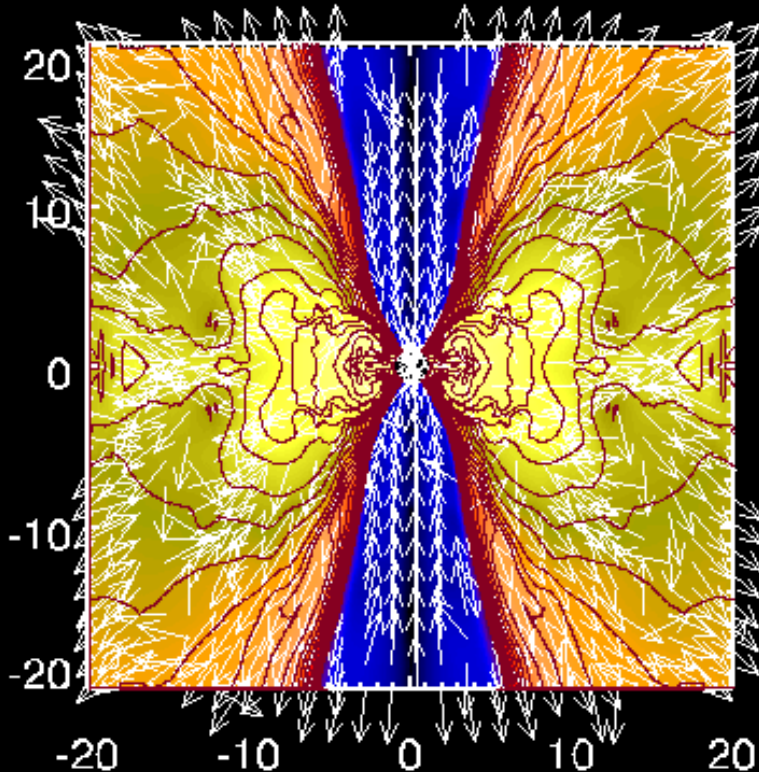
Density Structure
at T=1.6sec.



Not the Time
Sequence, but
For Different Models
With different Kerr
parameters.

Stagnation Region

S.N. (2010)

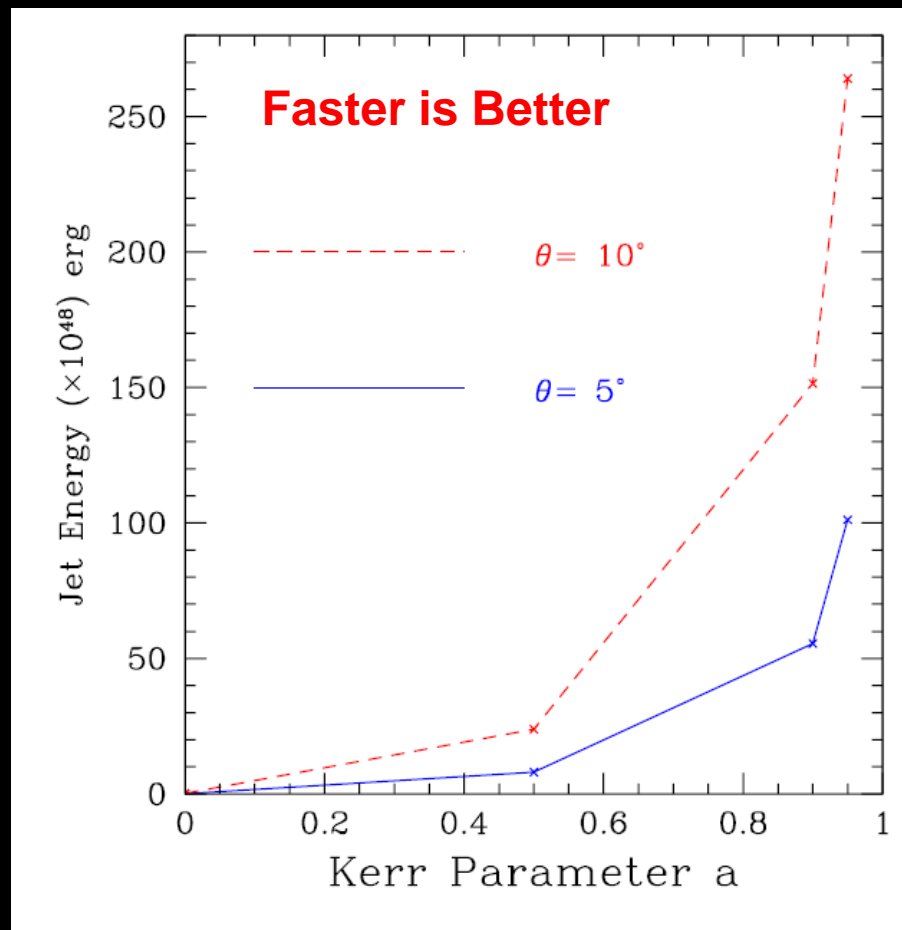
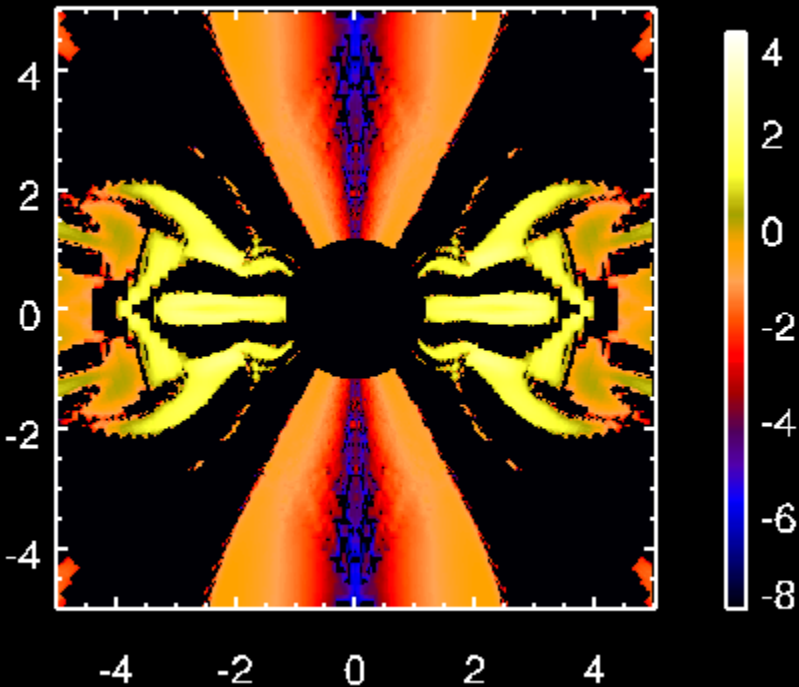


Kerr Parameter, $a=0.95$
T=160000 (=1.5760 sec).
Stagnation Region can be seen
At R=15 (=45km) in the Jet.

Density Contours in logarithmic scale (g/cc) with Velocity Fields

Blandford-Znajek Flux and Jet Energy

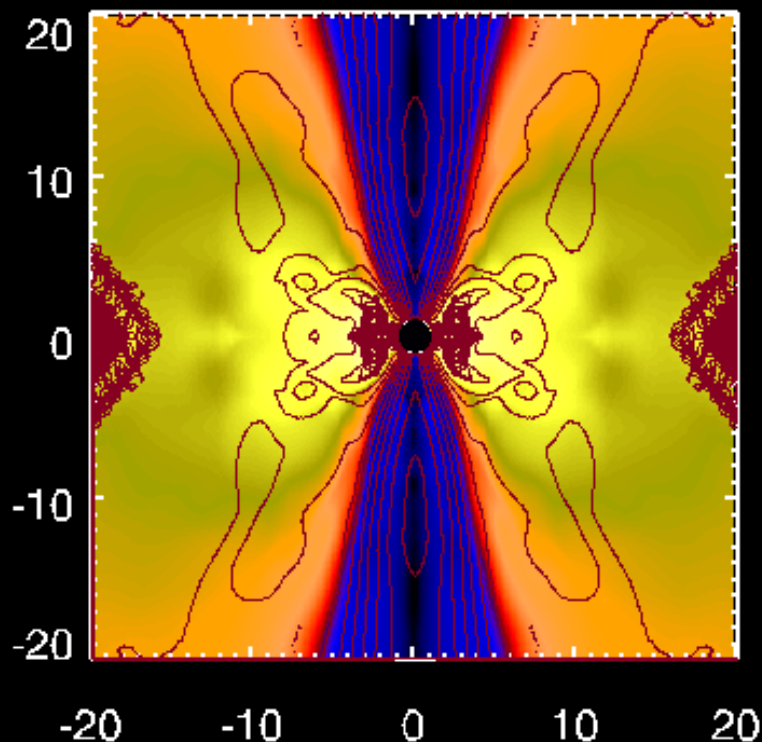
S.N. (2010)



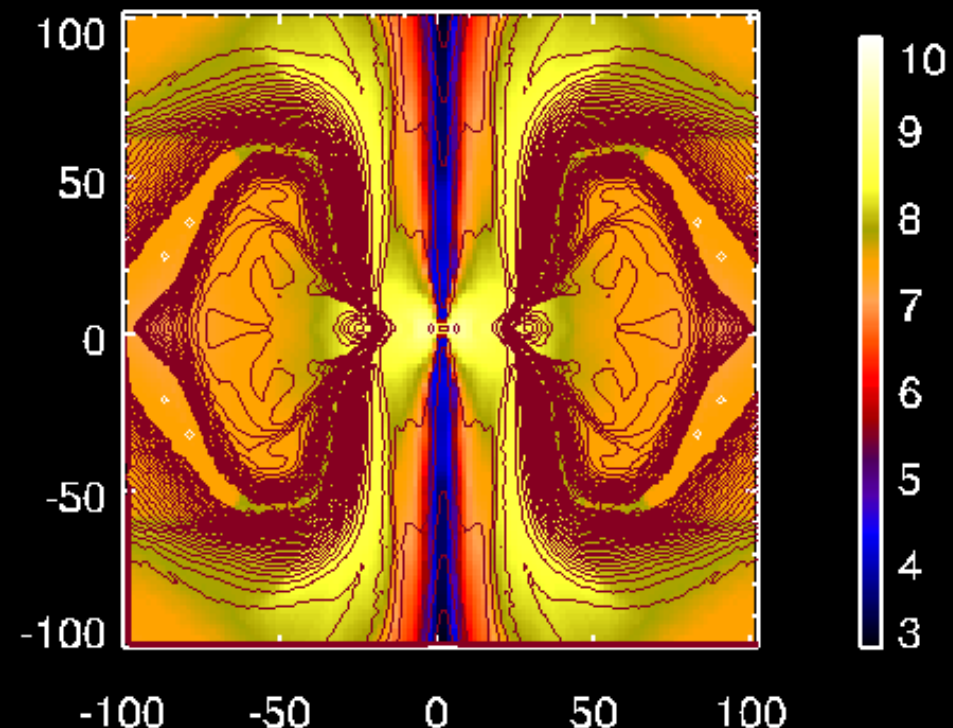
Jet Energy at $t=1.5750$ sec for $a=0, 0.5, 0.9, 0.95$

Density Contours with Poloidal Fields

Kerr Parameter, $a=0.95$



S.N. (2010)



$R=20$ corresponds to 60km.

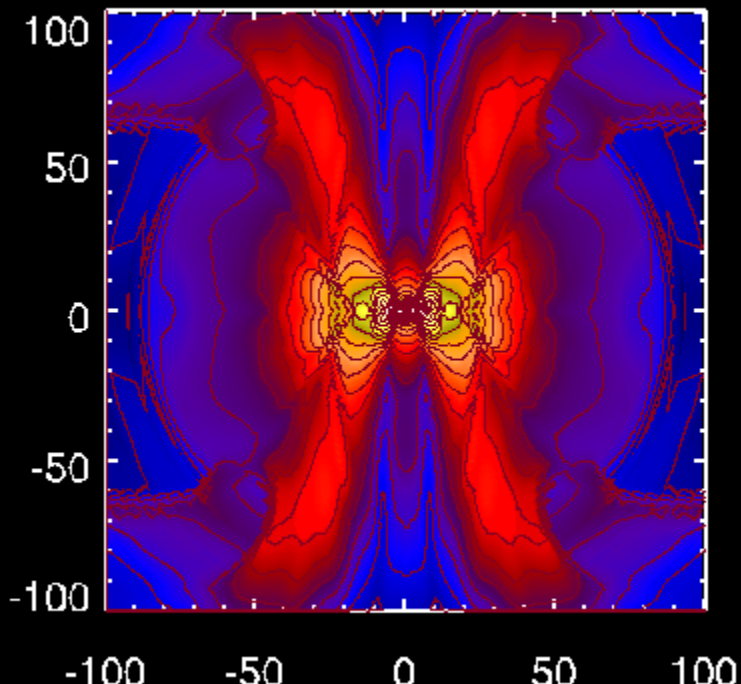
$R=100$ corresponds to 300km.

Wall-Like Structure

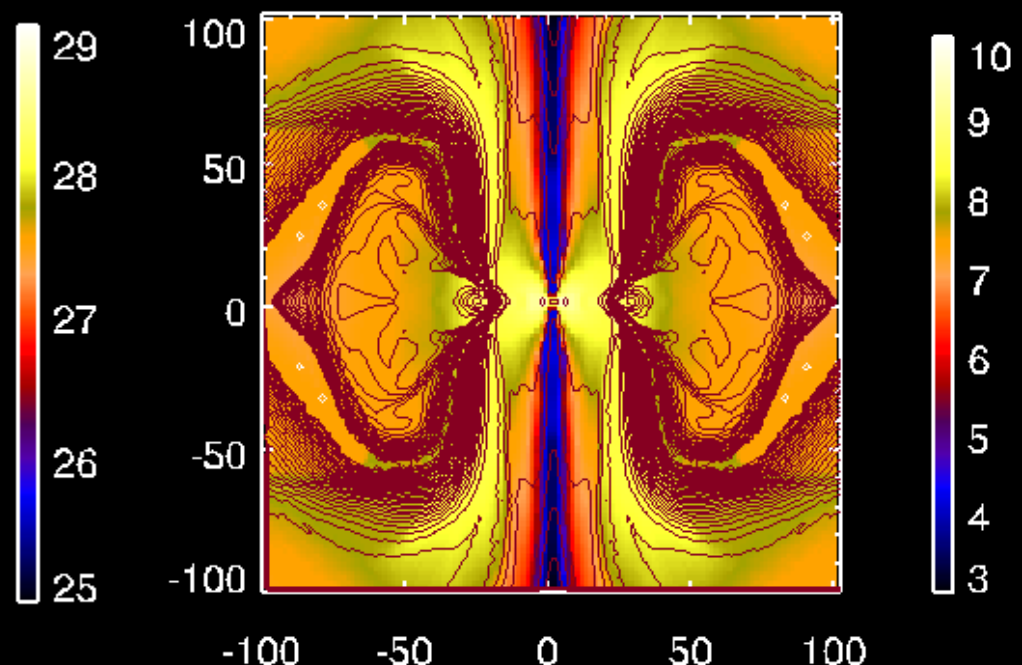
S.N. (2010)

A Wall-like Structure can be seen.
Collimation of the Jet is determined
By the Wall?

Kerr Parameter, $a=0.95$
 $R=100$ corresponds to 300km.

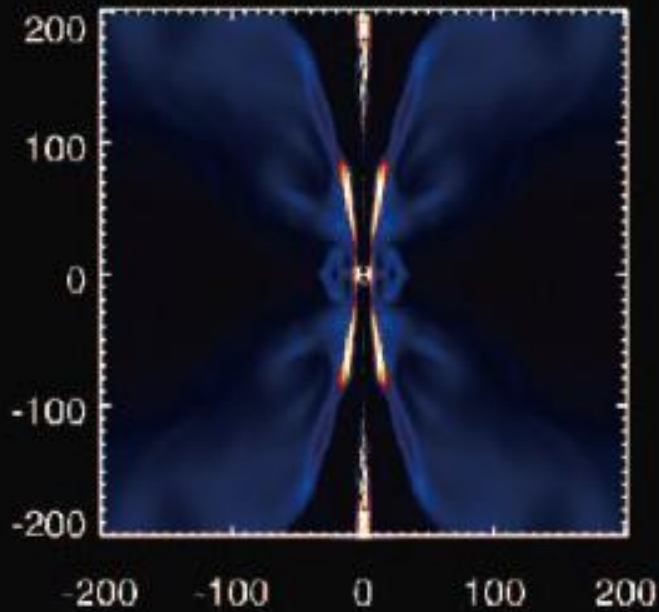


Contours of Total Pressure
(Thermal + Magnetic) in cgs units.

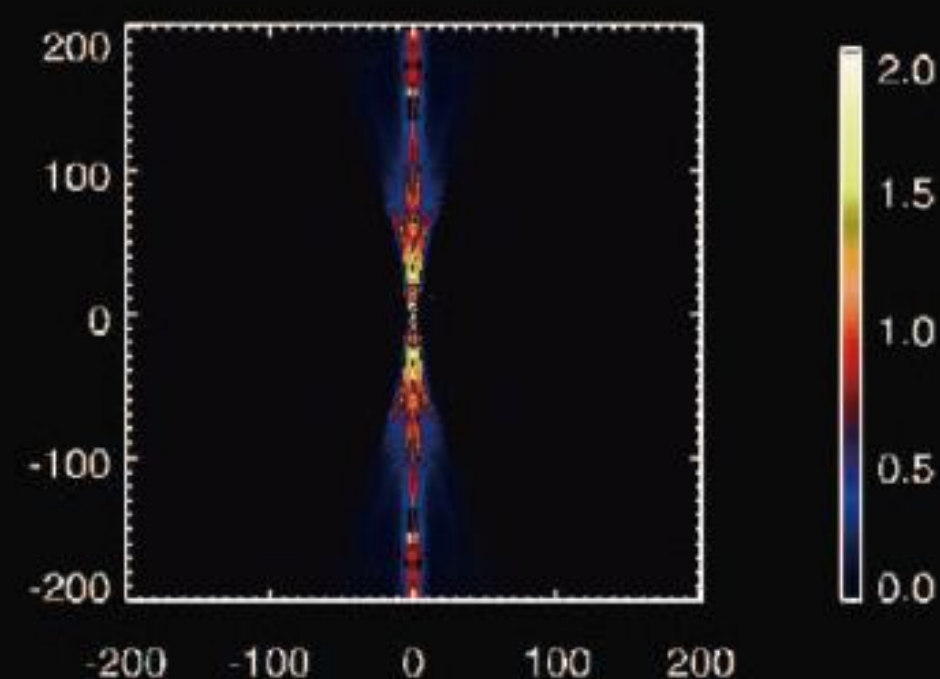


Density contour with Poloidal B-Field
lines

Bulk Lorentz Factor



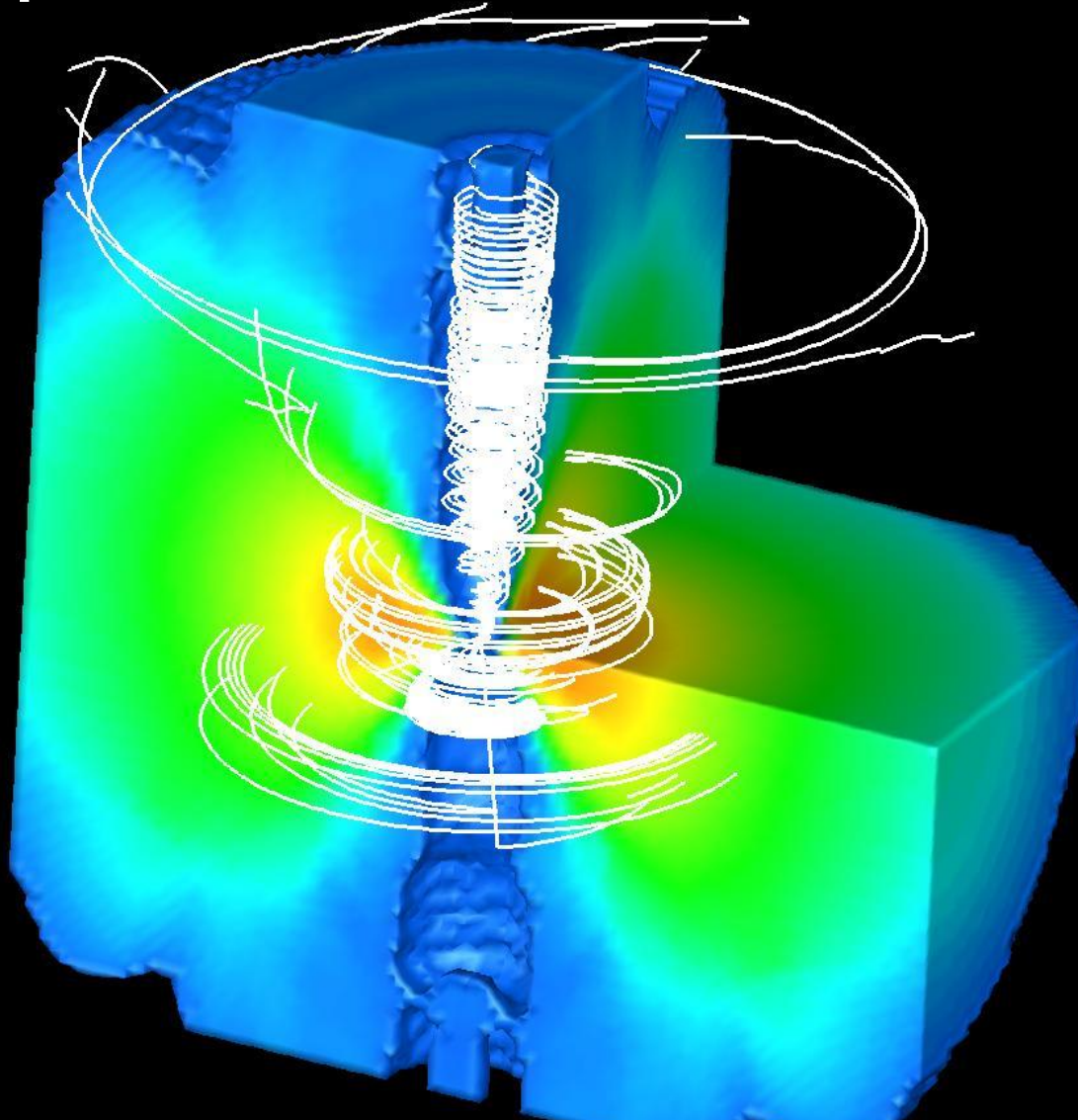
Contour of the Bulk Lorentz Factor at $T=1.77\text{sec}$ (in logarithmic Scale), which is still small at the Center.



Energy flux per unit rest mass flux at $T=1.77\text{ sec}$ (in Logarithmic scale), which is the upper limit of the bulk Lorentz factor . This is As high as 100 at the bottom of the jet. The jet is accelerated when it is propagating?

Development of 3D-GRMHD Code

S.N. 11, in prep.



3D GRMHD code has been Developed. MPI (Message Passing Interface) is used for every Coordinate so that this code can be applicable to supercomputers .

The super-computer coming to our institute was introduced by some news papers.

京 晴 民 宮 (夕刊) 2010年(平成22年)9月8日 水曜日

日々

京都大基礎物理学研究所（京都市左京区）は8日、最新鋭のスーパーコンピューターシステムを同研究所に導入し、来年1月に運用を始めると発表した。開始時で西日本最速になるという。日立製作所の大型コンピューター108台で構成する並列システムで、理論値で演算（浮動小数点演算）を1秒間に90.3兆回（TFLOPS）ができる。現在の日本最速は、日本原子力研究開発機構（茨城県）の200TFLOPS。

京都大基礎物理学研究所（京都市左京区）は8日、最新鋭のスーパーコンピューターシステムを同研究所に導入し、来年1月に運用を始めると発表した。開始時で西日本最速になるという。日立製作所の大型コンピューター108台で構成する並列システムで、理論値で演算（浮動小数点演算）を1秒間に90.3兆回（TFLOPS）ができる。現在の日本最速は、日本原子力研究開発機構（茨城県）の200TFLOPS。

西日本最速スーパコン

1月運用スタート 演算1秒に90.3兆回

京都府内でも、クマの出没が相次いでいる。8月末までの目撲件数は過去最高で、南丹市では男性がクマに襲われ負傷した。今年はえさとなるドングリなどで、今後も食べ物を求めて人里に現れることが予想されるという。例年、月以降に目撃が急増するため、府は住民に注意を呼び掛け始めた。

レスリング 第2回世界選手権
【モスクワ共同】7日、モスクワで男子グレコローマンスタイル3階級を行い、60kg級決勝で松本隆太郎（群馬）は、ヤクルト販売）は欧州王者のハッサン・アリエフ（アゼルバイジヤン）に1-2で敗れ、銀メダルとなつた。日本男子で27年ぶりの世界王者誕生はならなかつた。

松本「銀」 グレコ60kg級
【モスクワ共同】7日、モスクワで男子グレコローマンスタイル3階級を行い、60kg級決勝で松本隆太郎（群馬）は、ヤクルト販売）は欧州王者のハッサン・アリエフ（アゼルバイジヤン）に1-2で敗れ、銀メダルとなつた。日本男子で27年ぶりの世界王者誕生はならなかつた。

馬ヤクルト販売）は欧州王者のハッサン・アリエフ（アゼルバイジヤン）に1-2で敗れ、銀メダルとなつた。日本男子で27年ぶりの世界王者誕生はならなかつた。

グレコの表彰台は60kg級で2007年に銀メダルを獲得した笹本睦（綜合警備保障）以来で2大会ぶり。松本は今大会の日本勢メダル第1号となつた。

84kg級の斎川哲克（両毛ヤクルト販売）は2回戦で、120kg級の新庄寛和（自衛隊）は1回戦で敗れ、ともに敗者復活戦に回れた。

クラッシュテルスビーナスが4強に進出した。ニューヨーク共同【】第9日は7日、ニューヨークは1回戦で敗れ、ともに敗者復活戦に回れた。



Interviews towards 90Tera Flops Computer in YITP.

Finally, HITACHI company has Been chosen as our partner.

Hiro as the Chair of Supercomputing Committee



5. 計算機更新

西日本最速コンピュータ導入

- ・ 今年7月、日立製作所「SR16000モデルXM1」が落札された（9月8日に新聞報道他）。
- ・ 2011年1月4日稼働。5年間。
- ・ 理論ピーク性能 90.3TFlops（導入時で西日本最速。現在の80倍以上の理論ピーク速度）、108ノード、総コア数3456（SMT機能により6912コアとして使用可）
- ・ ノード間通信速度 4GB × 2（双方向通信）
- ・ 1ノードあたりメモリ128GB（運用は96GB）、トータル13.8TB
- ・ ディスク容量115.6TB（他に90TBあり。一部計算機に運用予定）。

5. 計算機更新(続き) 更新に伴う今後の予定・運用

- ・ 初学者を歓迎し、(神戸スパコンへの道すら開かれた環境の提供)。
- ・ ユーザーアカウントは継続。原則審査無し。謝辞をお願いします。キュー構成等、利用方法は基礎研HPに近日掲載。
- ・ 無償で全国共同利用計算機として提供の原則を貫くが電気代が年間2000-3000万円かかると推定される。慎重な運用が必要。
- ・ 京都大学内で大型計算機統合の動きがある。基礎物理学研究所計算機の必要性を訴えていく必要あり。HPCIとの連携強化？
- ・ 現在のマシン(SX8、Altix)は10月末に停止した。
データの読みとりは現在不可。
- ・ メールサーバ、数式処理サーバ、可視化サーバ等は1日程度の停止を除いては、サービスを継続。

Summary

- 2D GRMHD code has been developed, and collapsar simulation has been done (S.N. 2009).
- A stronger jet is launched by a more rapidly rotating BH (Faster is Better). Wall-like structure determines the opening angle of the jet? (S.N. 2010)
- 3D GRMHD code has been developed, and the simulations of collapsars by the 3D GRMHD code are going-on. (S.N. 2010, in prep.)
- We are planning to do Calculation of Nucleosynthesis with this code as a next step (S.N. 2011, in prep.)